

ОБ ИЗМЕНЕНИИ ОБЛАСТИ ЛОКАЛИЗАЦИИ ВОЗМУЩЕНИЙ
В ПРОЦЕССАХ НЕЛИНЕЙНОГО ПЕРЕНОСА

К. Б. ПАВЛОВ, А. С. РОМАНОВ

(Москва)

Квазилинейное уравнение параболического типа

$$(0.1) \quad \frac{\partial u}{\partial t} = \frac{\partial}{\partial x} \left(\left| \frac{\partial u^k}{\partial x} \right|^{n-1} \frac{\partial u^k}{\partial x} \right) - \gamma u^m$$

$k, \gamma > 0, m \geq 0, kn > 1$

следует рассматривать как обобщенную форму многих известных уравнений переноса с коэффициентами переноса, зависящими от переносимой величины. Например, случай $n=1$ соответствует переносу тепла в среде с теплопроводностью и стоками, зависящими от температуры по степенному закону [1, 2]; случай $k=m=1$ описывает течение проводящей неньютоновской жидкости в поперечном магнитном поле [3]; случай $k=2, m=0$ соответствует МГД-течению той же жидкости в поперечном магнитном поле в ламинарном пограничном слое [4]. В общем случае уравнение (0.1) описывает процесс турбулентной фильтрации [5] с нелинейными стоками. Характерной особенностью процессов, описываемых уравнением (0.1), является возможность наличия поверхностей фронта $x=x_f(t)$, строго разграничивающих области с $u(x, t) = 0$ и области с $u(x, t) > 0$, в которых локализованы возмущения переносимой величины [6]. Ниже проводится исследование закономерностей изменения области локализации возмущений переносимой величины в задачах Коши для уравнения (0.1).

1. Пусть в начальный момент времени $t=0$ задано симметричное по x начальное распределение переносимой величины $u(x, t)$, описываемое финитной функцией: $u_0(x) > 0$ при $|x| < |x_\Phi|$, $u_0(x) = 0$ при $|x| > |x_\Phi|$, где $x_\Phi = \text{const} < 0$.

Будем считать, что асимптотическое представление $u_0(x)$ при $x \rightarrow x_\Phi + 0$ определено выражением

$$(1.1) \quad u_0(x) \sim U_0(x - x_\Phi)^\omega, \quad U_0, \quad \omega - \text{const} > 0$$

Динамика изменения области локализации возмущений переносимой величины при $t > 0$ должна быть получена в результате решения следующей задачи с «искомой» границей $x_f(t)$:

$$(1.2) \quad \frac{\partial u}{\partial t} = \frac{\partial}{\partial x} \left(\frac{\partial u^k}{\partial x} \right)^n - \gamma u^m$$

$$u(x, 0) = u_0(x), \quad u(x_f, t) = \left[\frac{\partial u^k}{\partial x}(x_f, t) \right]^n = 0$$

$$x_f(0) = x_\Phi, \quad 0 > x > x_f(t), \quad t > 0$$

Условия при $x=x_f(t)$ вытекают из физических соображений о непрерывности решения задачи (1.2) $u(x, t)$ вместе с $[\partial u^k / \partial x(x, t)]^n$. Из них также следует, что в выражении асимптотики (1.1) $\omega > 1/k$.

Определим возможные типы фронтовых решений уравнения (1.2) $u(x, t) > 0$ при $0 > x > x_f(t)$, $u(x, t) = 0$ при $x_f(t) \geq x > -\infty$, предполагая, что асимптотическое поведение фронтового решения при $x \rightarrow x_f(t) + 0$

представимо в форме

$$(1.3) \quad u(x, t) \sim a(t) (x-x_f)^\alpha, \quad \alpha, a(t) > 0$$

Подставляя (1.3) в уравнение (1.2), имеем

$$(1.4) \quad \begin{aligned} \dot{a}(x-x_f)^\alpha - a\alpha(x-x_f)^{\alpha-1}\dot{x}_f \sim \\ \sim a^{kn}n(k\alpha)^n(k\alpha-1)(x-x_f)^{n(k\alpha-1)-1} - \gamma a^m(x-x_f)^{m\alpha} \end{aligned}$$

где точка означает производную по времени. Различные варианты соотношений между показателями степени при $(x-x_f)$ в отдельных членах (1.4) позволяют классифицировать фронтные решения уравнения (1.2).

Если в (1.4) $n(k\alpha-1)-1 = \alpha-1 < m\alpha$, то $\alpha = \alpha_1 \equiv n/(kn-1)$, $m > p$, $p = 1 - k + 1/n$ и

$$(1.5) \quad \dot{x}_f(t) = -(k\alpha_1)^n a^{kn-1}(t) < 0$$

Таким образом, при $m > p$ возможен режим переноса, при котором область локализации переносимой величины увеличивается со временем (режим $\dot{x}_f(t) < 0$). Этот режим описывается асимптотическим представлением $u(x, t)$ (1.3) с $\alpha = \alpha_1$.

Если в (1.4) $\alpha-1 = m\alpha < n(k\alpha-1)-1$, то $\alpha = \alpha_2 \equiv 1/(1-m)$, $1 > m > p$ и

$$(1.6) \quad \dot{x}_f = (1-m)\gamma a^{m-1}(t) > 0$$

Таким образом, при $1 > m > p$ возможен режим переноса, при котором область локализации возмущений переносимой величины со временем уменьшается (режим $\dot{x}_f(t) > 0$). Этот режим описывается асимптотическим представлением $u(x, t)$ (1.3) с $\alpha = \alpha_2$.

Если в (1.4) $\alpha-1 = m\alpha = n(k\alpha-1)-1$, то $\alpha = \alpha_s = \alpha_1 = \alpha_2 = \alpha_3 \equiv (n+1)/(kn-m)$, $m = p$ и

$$(1.7) \quad \dot{x}_f(t) = \alpha_1^{-1}\gamma a^{-1/\alpha_1}(t) - (k\alpha_1)^n a^{kn-1}(t)$$

откуда следует, что $\dot{x}_f(t) \leq 0$ при

$$(1.8) \quad a(t) \leq a_s \equiv [(kn-1)^{n+1}\gamma/k^n n^{n+1}]^{\alpha_1/(n+1)} = \text{const}$$

Из (1.7) и (1.8) можно заключить, что в случае $a(t) = a_s$ положение фронта может оставаться строго фиксированным в течение конечного или бесконечного интервала времени (режим $x_f(t) \equiv \text{const}$).

Таким образом, при $m = p$ принципиально возможны три режима: $\dot{x}_f(t) < 0$, $\dot{x}_f(t) > 0$ и $\dot{x}_f(t) \equiv \text{const}$; при этом в асимптотическом представлении $u(x, t)$ (1.3) $a(t)$ различно для разных режимов, однако показатель α одинаков: $\alpha = \alpha_s$.

Если в (1.4) $m\alpha = n(k\alpha-1)-1 < \alpha-1$, то $\alpha = \alpha_s$, $p > m \geq 0$ и

$$(1.9) \quad a(t) = a_c \equiv [\gamma(n+1)/nk^n \alpha_s^{n+1}(k+m)]^{1/(kn-m)}$$

(при $m = p$ a_c (1.9) переходит в a_s (1.8)). При $p > m \geq 0$ из соотношения (1.4) выражение для $x_f(t)$ не может быть определено, тем не менее можно утверждать, что для любого возможного в этом случае режима в асимптотическом представлении решения $u(x, t)$ (1.3): $\alpha = \alpha_s$, $a(t) = a_c$ (1.9).

Остановимся подробнее на рассмотрении возможности фиксирования фронта (режим $x_f(t) \equiv \text{const}$). Если фронт остается фиксированным в течение конечного (метастабильный режим) или бесконечного интервала времени (стабильный режим), то соотношение (1.4) принимает вид

$$(1.10) \quad \begin{aligned} \dot{a}(t)(x-x_f)^\alpha \sim a^{kn}(t)n(k\alpha)^n(k\alpha-1)(x-x_f)^{n(k\alpha-1)-1} - \\ - \gamma a^m(t)(x-x_f)^{m\alpha} \end{aligned}$$

Из (1.10) следует, что при $m < 1$ фиксирование положения фронта возможно с $\alpha = \alpha_3$ и $a(t) = a_c$ (1.9) в асимптотическом представлении решения $u = u(x, t)$ (1.3).

При $m = 1$ режим $x_f(t) = \text{const}$ имеет место при $\alpha = \alpha_3 = \alpha_4 = (n+1)/(kn-1)$ и $\alpha > \alpha_4$; $a(t)$ равны соответственно

$$(1.11) \quad a(t) = e^{-\gamma t} \alpha_4^{-\alpha_1} [n(k+1)k^n(\theta - \vartheta(t))]^{1/(1-kn)}$$

$$\vartheta(t) \equiv [1 - e^{-\gamma(kn-1)t}] [\gamma(kn-1)]^{-1}$$

$$(1.12) \quad a(t) = a_0 e^{-\gamma t}$$

Здесь θ и $a_0 = \text{const} > 0$, определяемые из соответствующего начального условия задачи (1.2).

x_f	$p > m \geq 0$	$m = p$	$t > m > p$	$m = 1$	$m > 1$
0	α_3 a_c	α_s a_s	α_3 1.9	$\alpha_3 = \alpha_4$ или $> \alpha_4$ 1.11 или 1.12	α_4 1.14
< 0	α_3 a_c	α_s $> a_s$	α_1 1.5	α_1 1.5	α_1 1.5
> 0	α_3 a_c	α_s $< a_s$	α_2 1.6	— —	— —

При $m > 1$ из (1.10) следует, что режим $x_f(t) = \text{const}$ имеет место с $\alpha = \alpha_4$ и

$$(1.13) \quad a(t) = \alpha_4^{-\alpha_1} [n(k+1)k^n(T-t)]^{1/(1-kn)}$$

Здесь $T = \text{const}$, определяемая из начального условия задачи (1.2).

Для большей наглядности возможные режимы локализации возмущений переносимой величины с соответствующими выражениями α и $a(t)$ в асимптотическом представлении решения $u(x, t)$ (1.3) в зависимости от значения параметра m приводятся в таблице, где цифры означают номера формул, из которых определяется $a = a(t)$.

2. Прежде чем приступить к непосредственному описанию динамики изменения области локализации возмущений переносимой величины в задаче (1.2), необходимо сформулировать некоторые положения о сравнении решений, которые будут использованы в дальнейшем.

В этой связи отметим, что в [7-9] указаны теоремы о монотонной зависимости решения задачи (1.2) от начального условия для частных случаев значений показателей степени в уравнении (1.2); аналогичная теорема может быть доказана и в общем случае.

Рассмотрим вспомогательную задачу

$$(2.1) \quad \frac{\partial w}{\partial t} = \frac{\partial}{\partial x} \left(\frac{\partial w^k}{\partial x} \right)^n - \gamma w^m, \quad w(x, 0) = w_0(x) = \text{const}, \quad -\infty < x \leq 0, \quad t > 0$$

где $w_0(x) \geq u_0(x)$ (1.1). В силу теоремы сравнения, следующей из монотонной зависимости решения задачи (1.2) от начального условия, решение задачи (2.1)

$$(2.2) \quad w(t) = (1-m)\gamma(T-t) \quad (m < 1), \quad w(t) = w_0 e^{-\gamma t} \quad (m = 1)$$

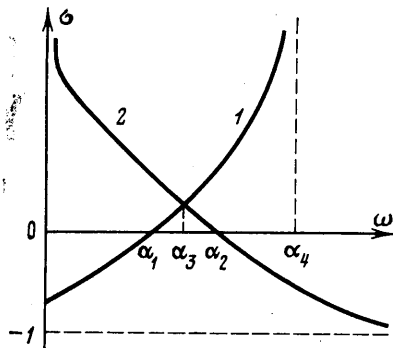
$$w(t) = w_0 / [1 + \gamma(m-1)t]^{1/(m-1)} \quad (m > 1)$$

можно считать мажорирующим для решения задачи (1.2). Из (2.2) следует, что при $m < 1$ $u(x, t > t_0) = 0$, где $t_0 \leq T$. Иными словами, при $m < 1$ переносимая величина исчезает за конечный интервал времени.

Если в задаче (1.2) $\gamma=0$, то ее решение $u_*(x, t)$ связано с решением $u(x, t)$ с $\gamma>0$ соотношением $u(x, t) \leq u_*(x, t)$ при прочих равных условиях [10].

Важно отметить, что теорему сравнения решений задачи (1.2) можно использовать в локальном варианте при асимптотическом выражении решений вблизи фронта. Пусть, например, асимптотики двух начальных распределений переносимой величины $u_0(x)$ (1.1): $u_{01}(x)$ и $u_{02}(x)$ с одинаковым положением фронта в начальный момент времени x_Φ . Будем считать, что $u_{01}(x) > u_{02}(x)$ в некоторой области вблизи фронта, за исключением самой точки фронта: $u_{01}(x_\Phi) = u_{02}(x_\Phi) = 0$. Тогда вблизи фронта в течение не равного нулю промежутка времени между соответствующими решениями задачи (1.2) имеет место соотношение $u_1(x, t) > u_2(x, t)$. Это утверждение может быть строго доказано.

Динамика изменения области локализации возмущений переносимой величины определяется реализацией конкретного режима фронтального решения задачи (1.2). Она существенно зависит от начального распределе-



ния переносимой величины вблизи поверхности фронта. Действительно, дифференцируя по времени тождество $u(x_f(t), t) = 0$ и используя затем уравнение (1.2), можно получить выражение (2.3)

$$\dot{x}_f(t) = - \lim_{x \rightarrow x_f + 0} \left\{ \left[\frac{\partial}{\partial x} \left(\frac{\partial u^k}{\partial x} \right)^n - \gamma u^m \right] \left(\frac{\partial u}{\partial x} \right)^{-1} \right\}$$

определяющее режим движения фронта для всех $t \geq 0$. Подставив в (2.3)

асимптотическое представление начального распределения $u_0(x)$ (1.1), будем иметь

$$(2.4) \quad \dot{x}_f(0) = - \lim_{x \rightarrow x_\Phi + 0} \left[U_0^{kn-1} (\omega k)^n (\omega k - 1) n \omega^{-1} (x - x_\Phi)^{n(\omega k - 1) - \omega} - \gamma U_0^{m-1} (x - x_\Phi)^{\omega(m-1)+1} \omega^{-1} \right]$$

откуда следует указанная зависимость.

Это положение проиллюстрируем сначала для случая $m > 1$, для которого определим закон движения фронта $x_f(t)$ при $t \rightarrow +0$. Будем исходить из условия непрерывного перехода асимптотического решения $u(x, t)$ (1.3) в начальное распределение $u_0(x)$ (1.1) при $t \rightarrow +0$. Предполагая, что фронт движется при $t > 0$ (а при $m > 1$ может иметь место режим $\dot{x}_f(t) < 0$, см. таблицу), имеем

$$(2.5) \quad \dot{a}(t) (x - x_f)^{\alpha_1} \infty U_0 (x - x_\Phi)^\omega \infty U_0 (x - x_f)^\omega, \quad t \rightarrow +0, \quad x \rightarrow x_f + 0$$

Откуда, выполняя вначале предел $x \rightarrow x_\Phi + 0$, имеем

$$(2.6) \quad a(t) \left[- \int_0^t \dot{x}_f dt \right]^{\alpha_1 - \omega} \infty U_0, \quad t \rightarrow +0$$

С помощью соотношений (2.6) и (1.5) может быть определено выражение для $\dot{x}_f(t)$, асимптотически справедливое при малых значениях t :

$$(2.7) \quad \dot{x}_f = -A t^{\sigma_1}, \quad A = [(k\alpha_1)^n \xi^{\xi-1} U_0^{kn-1}]^{1/\xi}$$

$$\sigma_1 = -1 + 1/\xi, \quad \xi = 1 + n - \omega(kn - 1)$$

Зависимость показателя σ_1 от показателя начального распределения $u_0(x)$ (1.1) ω показана на фигуре (кривая I).

Если $\omega < \alpha_1$, то $\dot{x}_f(t) \rightarrow -\infty$ при $t \rightarrow +0$, но тем не менее $|x_f - x_\phi| < \infty$, поскольку $\sigma_1 > -1$, $A < \infty$. Если $\omega = \alpha_1$, то $\dot{x}_f(t) \equiv (\alpha_1)^n U_0^{kn-1} = \text{const}$ при $t \rightarrow +0$; наконец, если $\alpha_1 < \omega < \alpha_4$, то $\dot{x}_f(t) \rightarrow 0$ при $t \rightarrow +0$.

Любопытен предельный переход $\omega \rightarrow \alpha_4 - 0$, при котором из (2.7) следует, что производные все более высоких порядков от $x_f(t)$ обращаются в нуль при $t \rightarrow +0$. Замечая это, можно предположить что в пределе при $\omega = \alpha_4$ фронт остается фиксированным по крайней мере в течение конечного интервала времени $0 < t < T < \infty$: $x_f(t) \equiv x_\phi = \text{const}$. Напомним в этой связи, что при $m > 1$ значение показателя $\alpha = \alpha_4 \equiv (n+1)/(kn-1)$ в асимптотическом представлении решения $u(x, t)$ (1.3) с $a(t)$ (1.13) соответствует метастабильному режиму $x_f(t) = \text{const}$, продолжающемуся в течение конечного интервала времени $0 < t < T$. Значение T , определяемое из начального условия $u_0(x)$ с $\omega = \alpha_4$, равно

$$(2.8) \quad T = U_0^{1-kn} [\alpha_4 kn(k+1)]^{-1}$$

(Отметим, что на возможность существования метастабильных состояний указывалось в [11, 12] для частных случаев значений показателей в уравнении (1.2)).

Очевидно, что функция

$$(2.9) \quad \begin{aligned} u_*(x, t) &= (\alpha_4/k)^{\alpha_4} (x - x_\phi)^{\alpha_4} [n(k+1)(T_* - t)]^{1/(1-kn)} \\ x &\geq x_\phi, t < T_* = \text{const} < \infty \end{aligned}$$

является решением задачи

$$\begin{aligned} \frac{\partial u_*}{\partial t} &= \frac{\partial}{\partial x} \left(\frac{\partial u_*^k}{\partial x} \right)^n, \quad u_*(x_f, t) = \left[\frac{\partial u_*^k}{\partial x}(x_f, t) \right]^n = 0 \\ u_*(x, 0) &= (\alpha_4/k)^{\alpha_4} (x - x_\phi)^{\alpha_4} [n(k+1)T_*]^{1/(1-kn)} \end{aligned}$$

описывающим метастабильный режим в течение интервала времени $0 \leq t \leq T_*$. При надлежащем подборе константы T_* точное решение (2.9) мажорирует решение задачи (1.2) с $\gamma > 0$ и $\omega > \alpha_4$ при одинаковом начальном положении фронта. Следовательно, при $m > 1$ и $\omega > \alpha_4$ имеет место режим $x_f(t) \equiv x_\phi = \text{const}$ по крайней мере в течение конечного интервала времени $0 \leq t \leq T_*$.

Таким образом, при $m > 1$ выбор режимов движения фронта $x = x_f(t)$, указанных в таблице, однозначно зависит от показателя ω в асимптотическом представлении начального распределения (1.1). Если $\omega < \alpha_1$, то при $t \rightarrow +0$ реализуется режим движения фронта с $\dot{x}_f(t) < 0$. Если $\omega \geq \alpha_4$, то фронт $x = x_f(t)$ неподвижен, по крайней мере, в течение конечного промежутка времени $0 \leq t \leq T_*$.

В случае линейного стока $m = 1$ сохраняются все выводы о характере движения фронта $x = x_f(t)$, полученные при $m > 1$. При $\omega \geq \alpha_3$, $1 \leq m < kn$ можно дополнительно указать, что фронт оказывается неподвижным для любого $0 \leq t < \infty$ при достаточно большом значении $\gamma \geq \gamma_0 > 0$, где γ_0 определяется из начального условия. Доказательство этого факта может быть проведено аналогично тому, как это сделано в [12], где задача (1.2) исследовалась в частном случае при $m = k = 1$.

В области изменения параметра $p \leq m < 1$ возможны три режима движения фронта (см. таблицу). Закон движения фронта в случае режима $\dot{x}_f(t) < 0$ по-прежнему описывается выражениями (2.7). Аналогично может быть определен закон движения фронта при $t \rightarrow +0$ в случае режима

$\dot{x}_f(t) > 0$:

$$\dot{x}_f = Bt^{\sigma_2}, B = \gamma^2(1-m)^2(\xi)^{1-\sigma_2}U_0^{-\sigma_2}, \sigma_2 = -1 + \xi, \xi = 1/(1-m)\omega$$

Зависимость σ_2 от параметра ω приведена на фигуре (кривая 2). Важно отметить, что в рассматриваемой области изменения параметра $p \leq m < 1$ справедливы неравенства $\alpha_1 \leq \alpha_3 \leq \alpha_2$, $\alpha_3 < \alpha_4$, что учтено на фигуре. Кривые пересекаются при значении $\omega = \alpha_3$. «Локальный» вариант теоремы сравнения дает возможность определить начальный режим движения фронта в зависимости от ω . Если $\omega < \alpha_3$, то $\dot{x}_f(t) < 0$; если же $\omega > \alpha_3$, то $\dot{x}_f(t) > 0$. При $\omega = \alpha_3$ вопрос о направлении движения фронта $x = x_f(t)$ не может быть однозначно решен на основе проводимого асимптотического анализа, по-видимому, при $\omega = \alpha_3$ могут реализовываться все три режима, возможные в случае $p \leq m < 1$.

При $0 \leq m < p$ исходя из соотношения (2.4) можно определить значение $\dot{x}_f(0)$; оказывается, что в случае $\omega < \alpha_3$ $\dot{x}_f(0) = -\infty$, в случае $\omega > \alpha_3$ $\dot{x}_f(0) = \infty$. При $\omega = \alpha_3$ значение $\dot{x}_f(0)$ определяется величиной U_0 : если $U_0 > a_c$ (1.9), то $\dot{x}_f(0) = -\infty$, если $U_0 < a_c$, то $\dot{x}_f(0) = \infty$, наконец, если $U_0 = a_c$, то для определения $\dot{x}_f(0)$ необходимо уточнить асимптотическое представление (1.1).

В заключение отметим, что в рамках проведенного анализа не удается решить вопрос о переходе с одного режима движения фронта на другой и оценить время существования каждого режима. Исключением является случай, когда может быть применена глобальная теорема сравнения.

Поступила 2 VII 1979

ЛИТЕРАТУРА

1. Зельдович Я. Б., Компанец А. С. К теории распространения тепла при теплопроводности, зависящей от температуры. Сб., посвященный 70-летию акад. А. Ф. Иоффе. Изд-во АН СССР, 1950.
2. Самарский А. А., Соболев И. М. Примеры численного расчета температурных волн. Ж. вычисл. матем. и матем. физ., 1963, т. 3, № 4.
3. Маргинсон Л. К., Павлов К. Б. Нестационарные сдвиговые течения проводящей жидкости со степенным реологическим законом. Магнитная гидродинамика, 1971, № 2.
4. Павлов К. Б. О магнитогиродинамическом течении несжимаемой вязкой жидкости, вызванном деформацией плоской поверхности. Магнитная гидродинамика, 1974, № 4.
5. Лейбензон Л. С. Общая задача о движении сжимаемой жидкости в пористой среде. Изв. АН СССР, Сер. геогр., геофиз., 1945, т. 9, № 1.
6. Баренблатт Г. И. О некоторых неустановившихся движениях жидкости и газа в пористой среде. ПММ, 1952, т. 16, вып. 1.
7. Баренблатт Г. И., Вишик М. И. О конечной скорости распространения в заданых нестационарной фильтрации жидкости и газа. ПММ, 1956, т. 20, вып. 3.
8. Кершнер Р. Об условиях локализации тепловых возмущений в полуограниченной движущейся среде при наличии поглощения. Вестн. МГУ. Сер. матем., мех., 1976, № 4.
9. Маргинсон Л. К., Павлов К. Б. Сдвиговые течения жидкости со степенным реологическим законом при наличии постоянной поперечной составляющей скорости. Изв. АН СССР, МЖГ, 1973, № 4.
10. Калашников А. С. О характере распространения возмущений в задачах нелинейной теплопроводности с поглощением. Ж. вычисл. матем. и матем. физ., 1974, т. 14, № 4.
11. Самарский А. А., Змитриенко Н. В., Курдюмов С. П., Михайлов А. П. Эффект метастабильной локализации тепла в среде с нелинейной теплопроводностью. Докл. АН СССР, 1975, т. 223, № 6.
12. Маргинсон Л. К. Распространение сдвиговых возмущений в дилатантных жидкостях. Изв. АН СССР, МЖГ, 1978, № 6.